

УДК 517.9

## КОНВЕКТИВНЫЕ ДВИЖЕНИЯ В ПОРИСТОМ КОЛЬЦЕВОМ СЕКТОРЕ

А. В. Трофимова, В. Г. Цибулин

Южный федеральный университет, 344090 Ростов-на-Дону

E-mail: tsybulin@math.rsu.ru

Исследуется гравитационная фильтрационная конвекция несжимаемой жидкости в кольцевых секторах. С использованием уравнений в полярных координатах и конечно-разностной схемы, сохраняющей косимметрию исходной задачи, изучены ответвление и развитие семейств конвективных режимов. Для трапециевидных и полукольцевых областей проанализировано возникновение неустойчивости на семействе стационарных состояний.

**Ключевые слова:** фильтрационная конвекция, конечно-разностная схема, семейство стационарных режимов, косимметрия.

**Введение.** Актуальность исследования конвекции в пористых средах обусловлена различными научными и техническими приложениями в геофизике и энергетике, например при разработке систем изоляции, хранения ядерных и других отходов [1, 2]. В основном естественная конвекция рассматривается для ограниченных областей, имеющих форму параллелепипеда или прямоугольника, в случае плоских и осесимметричных задач. В то же время формы реальных областей отличаются большим разнообразием, например, изоляционные каналы и коллекторы солнечной энергии [3] могут иметь форму кольцевого сектора.

При изучении фильтрационной конвекции несжимаемой жидкости в цилиндре [4] обнаружено ответвление однопараметрического семейства стационарных конвективных режимов от состояния механического равновесия. Это явление было объяснено с помощью теории косимметрии [5, 6] и исследовалось в натуральных [7] и численных экспериментах [8–10]. При косимметрии спектр устойчивости стационарных решений может меняться, в отличие от спектра в случае групповой инвариантности. Групповые свойства уравнений для различных моделей конвекции изучены в работе [11], в которой построены новые классы точных решений уравнений термодиффузионного движения.

Аналитическое исследование плоской задачи конвекции Дарси позволило получить асимптотику семейства стационарных режимов и изучить их устойчивость вблизи бифуркации рождения [5, 6]. Исследование косимметричных семейств стационарных режимов при больших надкритичностях возможно только с помощью численных методов. Расчеты в случае сильной неединственности решений — вычисления однопараметрических семейств стационарных движений конвекции Дарси в бесконечном цилиндре с сечением в виде прямоугольника — выполнены на основе метода Галеркина [8], метода сеток [9] и спектрально-разностного метода [10].

---

Работа выполнена в рамках аналитической ведомственной целевой программы “Развитие научного потенциала высшей школы” № 2.1.1/6095 и при финансовой поддержке Российского фонда фундаментальных исследований (код проекта 11-01-00708-а).

В данной работе изучаются семейства стационарных конвективных режимов в прямоугольных областях, заполненных пористой средой, развивается метод конечных разностей, применяемый при решении системы уравнений для температуры и функции тока, записанных в полярных координатах. В численном эксперименте рассчитаны семейства стационарных режимов для полукольца и трапециевидной области, подогреваемых снизу. Проанализировано развитие конвективных движений с увеличением числа Рэлея, изучено возникновение на семействе неустойчивых режимов.

**1. Постановка задачи.** Рассматривается плоская задача фильтрационной конвекции в пористом кольцевом секторе, подогреваемом снизу [2]. Система уравнений в полярных координатах и безразмерных переменных имеет вид

$$\partial_t T = \Delta T - J(T, \psi), \quad J(T, \psi) = \frac{1}{r} [\partial_r (T \partial_\varphi \psi) - \partial_\varphi (T \partial_r \psi)]; \quad (1)$$

$$0 = \Delta \psi - \lambda G(T), \quad G(T) = \frac{1}{r} [\partial_\varphi (\cos \varphi T) + \partial_r (r \sin \varphi T)]. \quad (2)$$

Здесь  $\Delta = \partial_r^2 + r^{-1} \partial_r + r^{-2} \partial_\varphi^2$ ;  $t$  — время;  $r, \varphi$  — полярные координаты;  $T$  — температура;  $\psi$  — функция тока. Фильтрационное число Рэлея определяется формулой  $\lambda = g\beta l^2 \delta T / (k\chi)$ , где  $g$  — ускорение свободного падения;  $\beta$  — температурный коэффициент линейного расширения;  $k = \nu / K$  — отношение вязкости жидкости к проницаемости;  $l$  — масштаб длины;  $\chi$  — температуропроводность;  $\delta T$  — градиент температуры по высоте.

Задача рассматривается в области  $D = [R_1, R_2] \times [\Phi_1, \Phi_2]$ , на границе которой распределение температуры задается линейным по высоте профилем:

$$T|_{\partial D} = T^0(r, \varphi) \equiv T_1 - \frac{R_2 + r \cos \varphi}{R_1} (T_1 - T_2), \quad (r, \varphi) \in \partial D. \quad (3)$$

Здесь  $T_1, T_2$  — значения температуры в точках  $(R_2, \pi)$  и  $(R_1, \pi)$  соответственно.

Для функции тока принимается следующее краевое условие:

$$\psi|_{\partial D} = 0. \quad (4)$$

Система (1)–(4) имеет стационарное решение

$$\psi = 0, \quad T = T^0(r, \varphi),$$

которое представляет собой механическое равновесие.

С помощью замены  $T = T^0 + \theta$  из (1)–(4) получается начально-краевая задача для величины отклонения температуры  $\theta$  и функции тока  $\psi$ :

$$\partial_t \theta = \Delta \theta + G(\psi) - J(\theta, \psi) \equiv F_1(\theta, \psi); \quad (5)$$

$$0 = \Delta \psi - \lambda G(\theta) \equiv F_2(\theta, \psi); \quad (6)$$

$$\theta|_{\partial D} = 0, \quad \psi|_{\partial D} = 0; \quad (7)$$

$$\theta|_{t=0} = \theta^0(r, \varphi). \quad (8)$$

Начальное условие задается только для температуры, так как функция тока определяется по  $\theta$  из (6), (7).

Для задачи (5)–(7) выполняется интегральное тождество

$$\int_D [F_1(\theta, \psi)\psi - F_2(\theta, \psi)\theta] r dr d\varphi = 0, \quad (9)$$

справедливость которого устанавливается непосредственно интегрированием по частям с использованием формулы Грина и с учетом краевых условий. Таким образом, косиммет-

рией системы (5)–(7) является вектор-функция  $L = (\psi, -\theta)$ , что означает возможность появления однопараметрического семейства решений [5].

Равновесие  $\theta = \psi = 0$  для системы (5)–(8) имеет место при всех значениях параметра  $\lambda$ . В [6] показано, что в случае плоской задачи конвекции Дарси первое критическое значение  $\lambda_{cr}$  двукратно для произвольной односвязной области и при переходе параметра  $\lambda$  через  $\lambda_{cr}$  от состояния покоя ответвляется семейство стационарных режимов с переменным спектром.

Следует отметить, что в случае области, симметричной относительно вертикальной оси ( $\Phi_2 = 2\pi - \Phi_1$ ), задача (5)–(7) инвариантна относительно преобразования дискретной симметрии:

$$R^\varphi: \{\varphi, \theta, \psi\} \mapsto \{2\pi - \varphi, \theta, -\psi\}. \quad (10)$$

**2. Численный метод.** При численном решении задачи (5)–(8) используется метод конечных разностей. Вводятся равномерные сетки по координатам  $r$  и  $\varphi$ :  $r_i = R_1 + ih_r$ ,  $\varphi_j = \Phi_1 + jh_\varphi$ , где  $i = 1, \dots, n$ ;  $h_r = (R_2 - R_1)/(n + 1)$ ;  $j = 1, \dots, m$ ;  $h_\varphi = (\Phi_2 - \Phi_1)/(m + 1)$ . Температура и функция тока определяются в узлах  $(r_i, \varphi_j)$ , при вычислении конвективного члена  $J(\theta, \psi)$  используются узлы смещенных сеток:  $r_{i-1/2} = R_1 + (i - 1/2)h_r$ ,  $\varphi_{j-1/2} = \Phi_1 + (j - 1/2)h_\varphi$ , где  $i = 1, \dots, n + 1$ ;  $j = 1, \dots, m + 1$ .

На двухточечных шаблонах вводятся разностные операторы первых производных и операторы вычисления среднего для целых и полуцелых индексов  $i$  и  $j$ :

$$\begin{aligned} (\delta_1\theta)_{i-1/2,j} &= \frac{\theta_{i,j} - \theta_{i-1,j}}{h_r}, & (\delta_2\theta)_{i,j-1/2} &= \frac{\theta_{i,j} - \theta_{i,j-1}}{h_\varphi}, \\ (\delta_0^1\theta)_{i-1/2,j} &= \frac{\theta_{i,j} + \theta_{i-1,j}}{2}, & (\delta_0^2\theta)_{i,j-1/2} &= \frac{\theta_{i,j} + \theta_{i,j-1}}{2}. \end{aligned} \quad (11)$$

С помощью этих операторов задаются операторы на четырехточечном шаблоне, разностные операторы первых производных на трехточечных шаблонах и дискретный аналог лапласиана:

$$\begin{aligned} (d_0\theta)_{i,j} &= (\delta_0^1\delta_0^2\theta)_{i,j}, & (d_1\theta)_{i,j} &= (\delta_0^2\delta_1\theta)_{i,j}, & (d_2\theta)_{i,j} &= (\delta_0^1\delta_2\theta)_{i,j}, \\ (D_1\theta)_{i,j} &= (\delta_0^1\delta_1\theta)_{i,j}, & (D_2\theta)_{i,j} &= (\delta_0^2\delta_2\theta)_{i,j}, \\ \Delta_h\theta_{i,j} &= \left( \frac{1}{r} \delta_1(r\delta_1\theta) + \frac{1}{r^2} \delta_2\delta_2\theta \right)_{i,j}. \end{aligned} \quad (12)$$

При численном исследовании косимметричных задач, характеризующихся сильной неединственностью решений, необходимо, чтобы разностная схема сохраняла косимметрию и дискретные симметрии исходной задачи. При аппроксимации конвективных членов в уравнении (5) применяется формула, полученная в [12] и записанная в полярных координатах:

$$J(\theta, \psi)|_{(r_i, \varphi_j)} \approx J_{i,j}(\theta, \psi) = \alpha J_{i,j}^{(1)} + (1 - \alpha) J_{i,j}^{(2)}. \quad (13)$$

Здесь

$$J_{i,j}^{(1)} = \frac{1}{r_i} [D_1(\theta D_2\psi) - D_2(\theta D_1\psi)]_{i,j}, \quad J_{i,j}^{(2)} = \frac{1}{r_i} [d_1(d_0\theta d_2\psi) - d_2(d_0\theta d_1\psi)]_{i,j}.$$

Для аппроксимации силы всплытия  $G_{i,j}(\theta)$  используется формула, сохраняющая косимметрию системы разностных уравнений [13]:

$$G(\theta)|_{(r_i, \varphi_j)} \approx G_{i,j}(\theta) = \beta G_{i,j}^{(1)} + (1 - \beta) G_{i,j}^{(2)}. \quad (14)$$

Здесь

$$G_{i,j}^{(1)} = \frac{1}{r_i} (\cos \varphi D_2\theta + r \sin \varphi D_1\theta)_{i,j}, \quad G_{i,j}^{(2)} = \frac{1}{r_i} (D_2(\cos \varphi \theta) + D_1(r \sin \varphi \theta))_{i,j}.$$

Параметры  $\alpha$  и  $\beta$  в формулах (13), (14) выбирались из условия выполнения разностного аналога тождества (9). При  $\alpha = 1/3$ ,  $\beta = 1/2$  конечно-разностная схема системы (5)–(8) сохраняет косимметрию и дискретную симметрию (10) исходной задачи.

С использованием операторов (11)–(14) записываются аппроксимации уравнений (5), (6) для внутренних узлов

$$\partial_t \theta_{i,j} = \Delta_h \theta_{i,j} + G_{i,j}(\psi) - J_{i,j}(\theta, \psi); \quad (15)$$

$$0 = \Delta_h \psi_{i,j} - \lambda G_{i,j}(\theta). \quad (16)$$

Дискретные аналоги краевых условий задаются формулами

$$\begin{aligned} \theta_{0,j} = 0, \quad \theta_{n+1,j} = 0, \quad \psi_{0,j} = 0, \quad \psi_{n+1,j} = 0, \quad j = 0, \dots, m+1, \\ \theta_{i,0} = 0, \quad \theta_{i,m+1} = 0, \quad \psi_{i,0} = 0, \quad \psi_{i,m+1} = 0, \quad i = 0, \dots, n+1. \end{aligned} \quad (17)$$

Полученная в результате дискретизации система обыкновенных дифференциальных уравнений (15)–(17) может быть записана в векторной форме

$$\dot{\Theta} = A\Theta + B\Psi - F(\Theta, \Psi); \quad (18)$$

$$0 = A\Psi - \lambda B\Theta. \quad (19)$$

Здесь для узловых значений температуры и функции тока введены векторы

$$\Theta = (\theta_{11}, \theta_{12}, \dots, \theta_{ij}, \theta_{i,j+1}, \dots, \theta_{nm}), \quad \Psi = (\psi_{11}, \psi_{12}, \dots, \psi_{ij}, \psi_{i,j+1}, \dots, \psi_{nm}).$$

Порядок следования членов в уравнениях (18), (19) соответствует использованному в (15), (16). Ленточная матрица  $A$  аппроксимирует оператор Лапласа, матрица  $B$  аппроксимирует оператор  $G$ . Конвективное слагаемое в уравнении (15) аппроксимируется членом  $F(\Theta, \Psi)$ .

Выразив вектор  $\Psi$  в (19) через  $\Theta$  и подставив в (18), получаем систему уравнений относительно температуры с начальным условием (8):

$$\dot{\Theta} = A\Theta + \lambda BA^{-1}B\Theta - F(\Theta, \lambda A^{-1}B\Theta); \quad (20)$$

$$\Theta|_{t=0} = \Theta^0 = (\theta^0(r_1, \varphi_1), \dots, \theta^0(r_n, \varphi_m)). \quad (21)$$

Критические значения фильтрационного числа Рэлея  $\lambda_{cr}$  находятся из обобщенной спектральной задачи, получаемой из (20):

$$A\Theta = -\lambda BA^{-1}B\Theta.$$

Расчеты конвективных режимов проводились в среде MATLAB. Для решения задачи Коши (20), (21) используется метод Рунге — Кутты четвертого порядка. При вычислении семейства стационарных режимов применяется алгоритм [8, 9]. Для каждого стационарного решения матрица линеаризации находится численно, а ее ядро определяется методом SVD-разложения. Спектр устойчивости  $\sigma$  для стационарных решений  $\Theta_*$  находится из линеаризованной системы, следующей из (20):

$$\sigma W = [A + \lambda BA^{-1}B - F_{\Theta}(\Theta_*, \lambda A^{-1}B\Theta_*) - \lambda F_{\Psi}(\Theta_*, \lambda A^{-1}B\Theta_*)A^{-1}B]W.$$

Для уточнения положения равновесия в окрестности семейства применяется метод Ньютона, прогнозное значение для следующей точки на семействе вычисляется с помощью экстраполяционного метода Адамса.

**3. Анализ конвективных режимов.** В данной работе представлены результаты расчета конвективных режимов в задаче (5)–(8) для узкой трапецевидной области и полукольца. В обоих случаях состояние покоя  $\theta = \psi = 0$  глобально-устойчиво при малых

Таблица 1

Критические значения числа Рэлея для трапецевидной области  $D_1$ 

Размеры сетки	$\lambda_{cr}$	$\lambda_*$
8 × 12	108,9	297,0
12 × 18	106,1	299,1
16 × 24	105,1	299,6
24 × 36	104,4	—
Аналитическое решение (22)	103,5	—

градиентах температуры (параметр Рэлея  $\lambda < \lambda_{cr}$ ). При превышении критического значения обнаружено возникновение непрерывного семейства стационарных конвективных режимов, наследующего устойчивость равновесия  $\theta = \psi = 0$ . В спектре каждого состояния равновесия содержится нулевое значение, что соответствует нейтральному направлению вдоль семейства.

Вычислительный эксперимент состоял в нахождении семейств конвективных режимов и продолжении их по параметру Рэлея до возникновения неустойчивости. В расчетах определялись функция тока, распределение температуры, спектр устойчивости режимов и числа Нуссельта, соответствующие тепловым потокам через внешнюю границу и среднюю азимутальную линию:

$$\text{Nu}_h = \int_{\Phi_1}^{\Phi_2} \frac{\partial \theta}{\partial r} r \Big|_{r=R_2} d\varphi, \quad \text{Nu}_v = \int_{R_1}^{R_2} \frac{1}{r} \frac{\partial \theta}{\partial \varphi} \Big|_{\varphi=\varphi^*} dr, \quad \varphi^* = \frac{\Phi_1 + \Phi_2}{2}.$$

3.1. *Решение задачи в узкой трапецевидной области.* Вычисления семейств конвективных режимов в трапецевидной области  $D_1 = [R_1, R_2] \times [\Phi_1, \Phi_2]$ ,  $R_1 = 1$ ,  $R_2 = 2$ ,  $\Phi_1 = 11\pi/12$ ,  $\Phi_2 = 2\pi - \Phi_1$  проводились на различных сетках. В табл. 1 представлены результаты расчета критических чисел Рэлея  $\lambda_{cr}$ , при которых состояние механического равновесия теряет устойчивость, и значения числа Рэлея  $\lambda_*$ , при которых стационарные режимы на семействе теряют устойчивость впервые. В последней строке табл. 1 приведено критическое значение для прямоугольника [2], определяемое по формуле

$$\lambda_{cr} = 4\pi^2 \left( \frac{1}{a^2} + \frac{1}{b^2} \right), \quad a = R_2 - R_1, \quad b = \frac{R_1 + R_2}{2} (\Phi_2 - \Phi_1). \quad (22)$$

Из табл. 1 следует, что дискретизация с числом внутренних узлов  $n \times m = 16 \times 24$  позволяет определить значения  $\lambda_{cr}$  и  $\lambda_*$  с большой точностью. В среднем для получения семейства при каждом значении  $\lambda$  требовался расчет от 100 до 200 режимов.

Для трапецевидной области  $D_1$  семейство равновесий ответвляется при  $\lambda_{cr} \approx 105$ . С увеличением параметра Рэлея  $\lambda$  возрастает радиальный тепловой поток и меняется форма семейства. Эволюция семейств с устойчивыми стационарными режимами представлена на рис. 1, а. При  $\lambda > 300$  на семействе появляются участки с неустойчивыми состояниями (рис. 1, б).

На рис. 2 приведены функции тока, распределения температуры и спектры устойчивости для нескольких стационарных режимов семейства, рассчитанного при  $\lambda = 200$ . Семейство составляют в основном стационарные режимы движения в виде двух конвективных валов, касающихся границ  $r = R_1$  и  $r = R_2$  (режимы 1 и 3), либо с валом, идущим из нижнего правого (левого) угла в верхний левый (правый) угол (режимы 2, 4). На рис. 2, б приведены распределения температуры. Отметим, что имеющаяся в задаче симметрия  $R^\varphi$  проявляется в том, что семейства содержат режимы, переходящие друг в

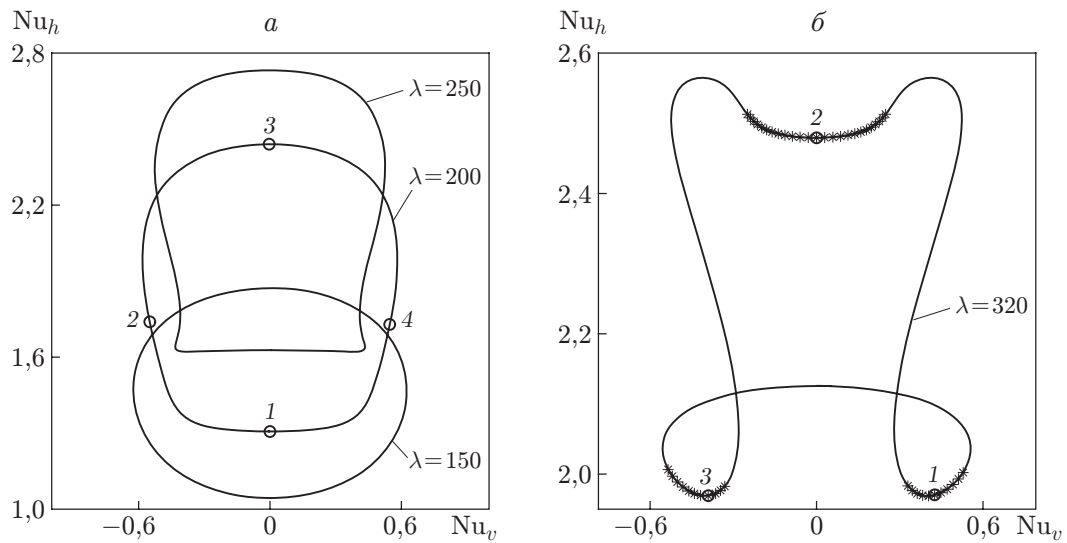


Рис. 1. Эволюция семейств стационарных режимов с увеличением параметра Рэлея  $\lambda$  в трапециевидной области:  
*a* — семейства с устойчивыми стационарными режимами; *б* — семейство, содержащее участки с неустойчивыми состояниями (отмечены звездочками)

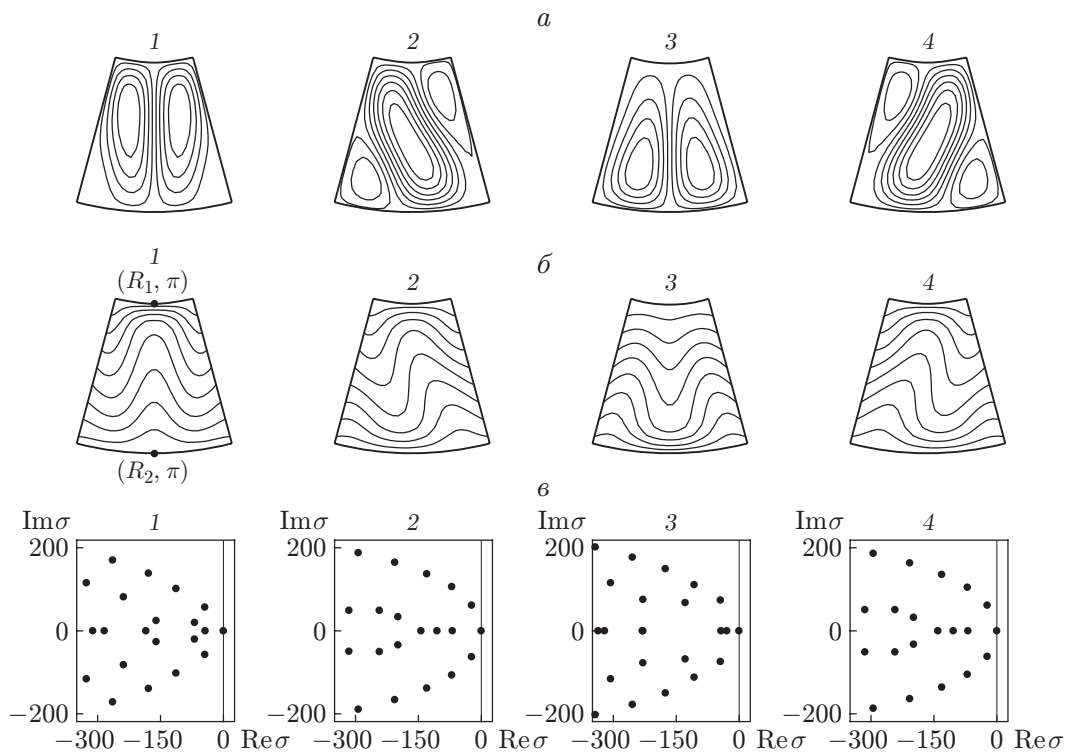


Рис. 2. Функции тока (*a*), распределения температуры (*б*) и спектры устойчивости (*в*) режимов семейства с  $\lambda = 200$  в трапециевидной области:  
 1–4 — режимы, отмеченные на рис. 1, *a*

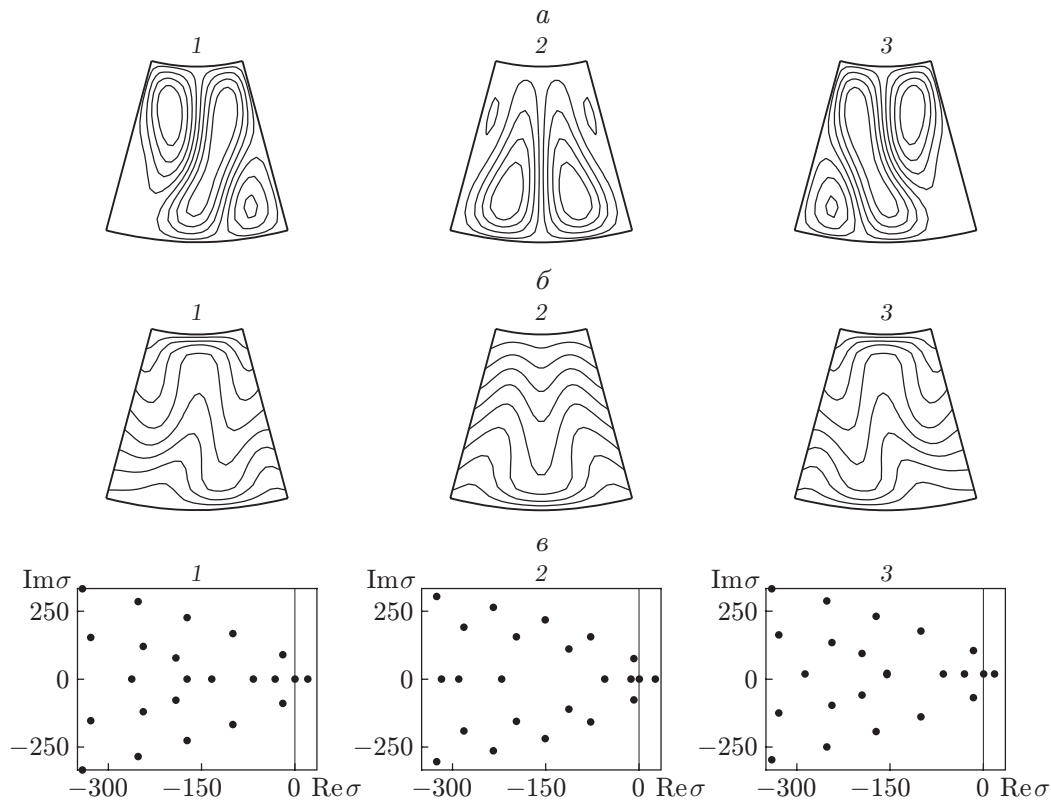


Рис. 3. Функции тока (а), распределения температуры (б) и спектр устойчивости (в) неустойчивых режимов семейства с  $\lambda = 320$  в трапециевидной области: 1–3 — режимы, отмеченные на рис. 1, б

друга при действии преобразования дискретной симметрии (10). На рис. 2, в представлены значения спектра устойчивости в окрестности мнимой оси. Наличие в спектре практически нулевого значения ( $\sigma_* \approx 10^{-7}$ ) свидетельствует о принадлежности этих конвективных структур однопараметрическому семейству стационарных состояний. Видно, что характер распределения спектральных величин  $\sigma$  меняется от режима к режиму. Неустойчивость на семействе конвективных режимов возникает быстрее для структур с симметричным расположением валов (режим 3).

На рис. 3 представлены функции тока, распределение температуры и спектр устойчивости для неустойчивых режимов семейства при  $\lambda = 320$ . В этом случае семейство составляют режимы с четырьмя симметрично расположенными валами либо конвективные структуры с одним основным валом. Присутствие положительного собственного числа (рис. 3, в) свидетельствует о неустойчивости режима, а наличие нулевого значения в каждом из них — о принадлежности этих конвективных структур однопараметрическому семейству.

3.2. Семейство конвективных режимов в полукольце. Результаты вычислений конвективных режимов для полукольца  $D_2 = [1, 2] \times [\pi/2, 3\pi/2]$  на различных сетках представлены в табл. 2 и на рис. 4–6. В табл. 2 приведены критические числа  $\lambda_{cr}$ , при которых состояние механического равновесия теряет устойчивость, и значения числа Рэлея  $\lambda_*$ , при которых стационарные режимы на семействе теряют устойчивость впервые.

Анализ расчета критических значений показал, что для последующего вычислительного эксперимента достаточно использовать сетку размером  $16 \times 48$  внутренних узлов.

Таблица 2

Критические значения числа Рэля для полукольца  $D_2$

Размеры сетки	$\lambda_{cr}$	$\lambda_*$
$8 \times 24$	43,9	103,0
$12 \times 36$	42,3	100,5
$16 \times 48$	41,7	97,0
$20 \times 60$	41,4	—

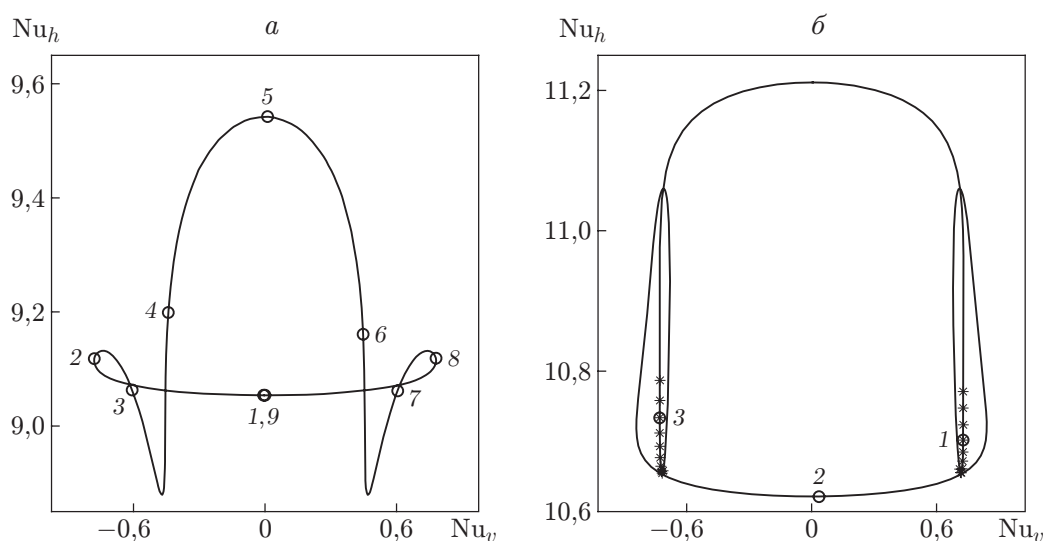


Рис. 4. Семейства стационарных конвективных режимов для полукольца:  $a$  —  $\lambda = 80$ ,  $b$  —  $\lambda = 110$ ; звездочки — неустойчивые состояния семейства

Дополнительные сравнения с результатами расчетов на сетке размером  $24 \times 72$  не выявили существенных различий.

Для полукольца  $D_2$  семейство стационарных конвективных режимов ответвляется при  $\lambda_{cr} \approx 42$ , а при  $\lambda > 97$  на семействе появляются участки с неустойчивыми состояниями. На рис. 4 представлены семейства при  $\lambda = 80, 110$ .

В случае широкого кольцевого сектора разнообразие конвективных структур значительно больше, чем в случае трапециевидной области. На рис. 5 представлены функции тока для различных конвективных режимов, принадлежащих семейству, при  $\lambda = 80$ . В зависимости от начальных данных могут реализовываться режимы с числом валов от двух до шести. Вследствие симметрии задачи  $R^\varphi$ -семейства содержат режимы, переходящие друг в друга при действии дискретной симметрии (парные режимы 1 и 9, 2 и 8, 3 и 7, 4 и 6).

Функции тока, распределение температуры и спектр устойчивости для некоторых режимов семейства, рассчитанного при  $\lambda = 110$ , представлены на рис. 6. Из анализа спектра устойчивости  $\sigma$  следует, что неустойчивыми являются режимы 1 и 3. Наличие нулевого значения в каждом из этих режимов указывает на принадлежность данных конвективных структур однопараметрическому семейству, а присутствие положительного собственного числа — на неустойчивость решения. Видно, что характер распределения спектральных значений  $\sigma$  меняется от режима к режиму.

**Заключение.** Предложен метод расчета и приведены результаты вычислений режимов фильтрационной конвекции в кольцевых секторах, подогреваемых снизу. Для



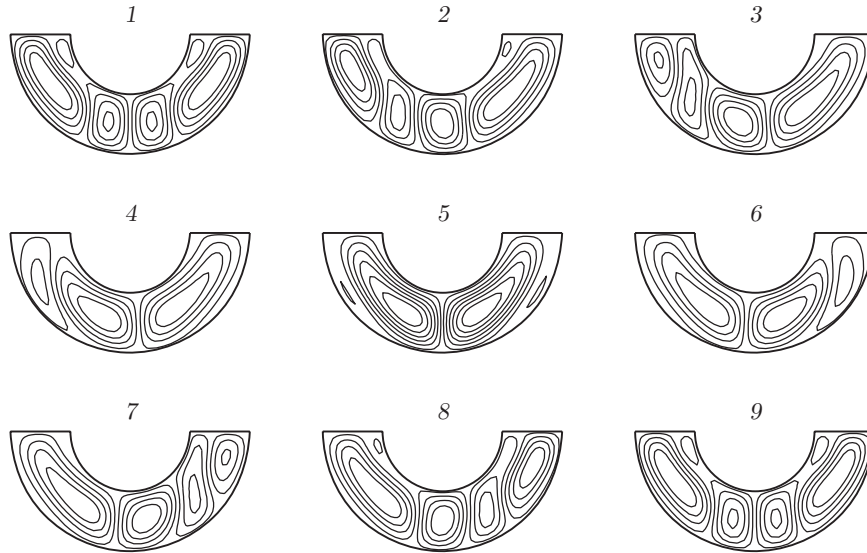


Рис. 5. Функции тока стационарных режимов семейства с  $\lambda = 80$  для полукольца: 1–9 — номера режимов, отмеченных на рис. 4,а

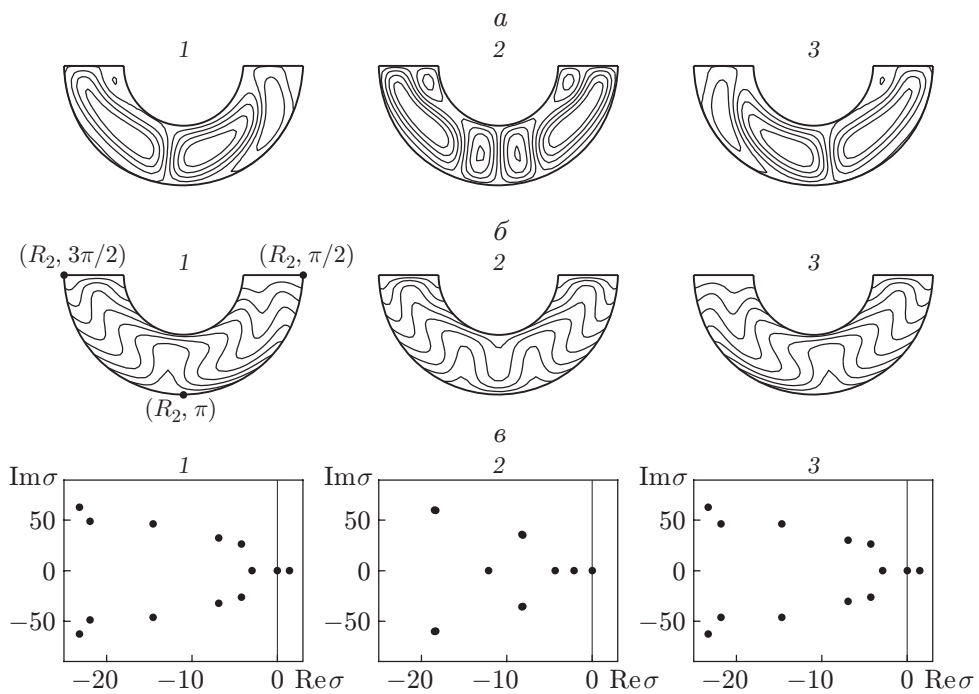


Рис. 6. Функции тока (а), распределения температуры (б) и спектр устойчивости (в) стационарных режимов семейства с  $\lambda = 110$  для полукольца: 1–3 — номера режимов, отмеченных на рис. 4,б

трапециевидной области и полукольца обнаружено ответвление семейств стационарных движений с переменным спектром устойчивости. Изучена эволюция данных семейств с ростом числа Рэлея вплоть до возникновения на них неустойчивых режимов вследствие монотонной неустойчивости. В исследованных диапазонах чисел Рэлея не обнаружены колебательная неустойчивость на семействе и бифуркации косимметричных семейств стационарных состояний [14]. Не выявлены также сложные конвективные движения, имеющие место в задаче для пористых цилиндров [15].

Развитый метод может быть применен при изучении сценариев конвективных переходов и проведении вычислительного эксперимента при больших надкритичностях.

### ЛИТЕРАТУРА

1. **Гершуни Г. З.** Устойчивость конвективных течений / Г. З. Гершуни, Е. М. Жуховицкий, А. А. Непомнящий. М.: Наука, 1989.
2. **Nield D. A.** Convection in porous media. 3rd ed. / D. A. Nield, A. Bejan. N. Y.: Springer-Verlag, 2006.
3. **Baytas A. S., Pop I.** Natural convection in a trapezoidal enclosure filled with a porous medium // Intern. J. Engng Sci. 2001. N 39. P. 125–134.
4. **Любимов Д. В.** О конвективных движениях в пористой среде, подогреваемой снизу // ПМТФ. 1975. № 2. С. 131–137.
5. **Юдович В. И.** Косимметрия, вырождение решений операторных уравнений, возникновение фильтрационной конвекции // Мат. заметки. 1991. Т. 49, вып. 5. С. 142–148.
6. **Yudovich V. I.** Secondary cycle of equilibria in a system with cosymmetry, its creation by bifurcation and impossibility of symmetric treatment of it // Chaos. 1995. V. 5, N 2. P. 402–411.
7. **Глухов А. Ф., Путин Г. Ф.** Экспериментальное исследование конвективных структур в насыщенной жидкостью пористой среде вблизи порога неустойчивости механического равновесия // Гидродинамика: Сб. науч. тр. Пермь: Перм. гос. ун-т, 1999. Вып. 12. С. 104–120.
8. **Говорухин В. Н.** Численное исследование потери устойчивости вторичными стационарными режимами в задаче плоской конвекции Дарси // Докл. АН. 1998. Т. 363, № 6. С. 772–774.
9. **Karasözen B., Tsybulin V. G.** Finite-difference approximation and cosymmetry conservation in filtration convection problem // Phys. Lett. A. 1999. V. 262, N 4. P. 321–329.
10. **Кантур О. Ю., Цибулин В. Г.** Расчет семейств стационарных режимов фильтрационной конвекции в узком контейнере // ПМТФ. 2003. Т. 44, № 2. С. 92–100.
11. **Андреев В. К.** Современные математические модели конвекции / В. К. Андреев, Ю. А. Гапоненко, О. Н. Гончарова, В. В. Пухначев. М.: Физматлит, 2008.
12. **Arakawa A.** Computational design for long-term numerical integration of the equations of fluid motion: two-dimensional incompressible flow // J. Comput. Phys. 1966. V. 1. P. 119–143.
13. **Трофимова А. В., Цибулин В. Г.** Расчет конвективных режимов в пористой трапециевидной области // Изв. вузов. Сев.-Кавк. регион. Естеств. науки. 2009. С. 211–215. Спецвыпуск.
14. **Куракин Л. Г., Юдович В. И.** Бифуркации при монотонной потере устойчивости равновесия косимметричной динамической системы // Докл. АН. 2000. Т. 372, № 1. С. 29–33.
15. **Бессонов О. А., Брайловская В. А.** Пространственная модель тепловой конвекции в зазоре между горизонтальными коаксиальными цилиндрами с анизотропным пористым заполнением // Изв. РАН. Механика жидкости и газа. 2001. № 1. С. 145–155.